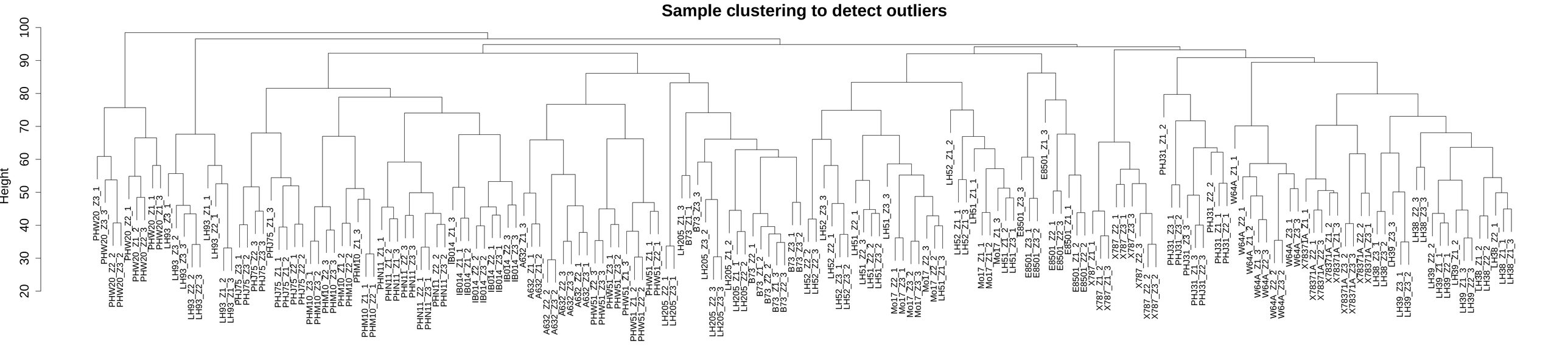
Sample clustering to detect outliers
Height
100
90
80
70
60
50
40
30
20
PHW20_Z3_1
PHW20_Z3_3
PHW20_Z2_2
PHW20_Z3_2
PHW20_Z2_1
PHW20_Z2_3
PHW20_Z1_2
PHW20_Z1_1
PHW20_Z1_3
LH93_Z3_1
LH93_Z3_2
LH93_Z3_3
LH93_Z2_2
LH93_Z2_3
LH93_Z1_1
LH93_Z2_1
LH93_Z1_2
LH93_Z1_3
PHJ75_Z3_1
PHJ75_Z3_2
PHJ75_Z2_3
PHJ75_Z3_3
PHJ75_Z1_3
PHJ75_Z1_1
PHJ75_Z1_2
PHJ75_Z2_1
PHJ75_Z2_2
PHM10_Z3_1
PHM10_Z3_2
PHM10_Z2_3
PHM10_Z3_3
PHM10_Z1_2
PHM10_Z2_2
PHM10_Z1_3
PHM10_Z2_1
PHM10_Z1_1
PHN11_Z1_1
PHN11_Z1_2
PHN11_Z1_3
PHN11_Z2_3
PHN11_Z3_3
PHN11_Z2_1
PHN11_Z3_2
PHN11_Z2_2
PHN11_Z3_1
IB014_Z1_3
IB014_Z1_1
IB014_Z1_2
IB014_Z2_2
IB014_Z3_2
IB014_Z2_1
IB014_Z2_3
IB014_Z3_1
IB014_Z3_3
A632_Z1_3
A632_Z1_1
A632_Z1_2
A632_Z2_2
A632_Z2_1
A632_Z3_3
A632_Z3_2
A632_Z3_1
PHW51_Z3_1
PHW51_Z3_3
PHW51_Z3_2
PHW51_Z1_3
PHW51_Z1_2
PHW51_Z2_2
PHW51_Z1_1
PHW51_Z2_1
LH205_Z1_3
LH205_Z3_1
LH205_Z2_1
B73_Z1_3
B73_Z1_1
B73_Z3_3
LH205_Z3_2
LH205_Z2_3
LH205_Z3_3
LH205_Z1_2
LH205_Z1_1
LH205_Z3_2
LH205_Z2_2
B73_Z2_1
B73_Z1_2
B73_Z2_2
B73_Z1_1
B73_Z2_3
B73_Z3_1
B73_Z3_2
LH52_Z2_2
LH52_Z2_3
LH52_Z3_3
LH52_Z1_2
LH52_Z1_1
LH52_Z1_3
LH51_Z1_1
LH52_Z3_1
LH52_Z3_2
LH52_Z2_1
LH51_Z2_1
LH51_Z2_3
LH51_Z3_2
LH51_Z3_3
Mo17_Z2_1
Mo17_Z3_1
Mo17_Z3_2
Mo17_Z3_3
Mo17_Z2_3
Mo17_Z1_3
LH51_Z2_2
Mo17_Z1_1
Mo17_Z1_2
LH51_Z1_2
LH51_Z3_1
E8501_Z3_3
E8501_Z3_1
E8501_Z3_2
E8501_Z1_3
E8501_Z2_1
E8501_Z1_1
E8501_Z2_3
E8501_Z1_2
E8501_Z2_2
X787_Z1_1
X787_Z1_2
X787_Z1_3
X787_Z2_1
X787_Z3_1
X787_Z3_3
X787_Z2_3
X787_Z2_2
X787_Z3_2
PHJ31_Z1_2
PHJ31_Z3_1
PHJ31_Z3_2
PHJ31_Z3_3
PHJ31_Z1_3
PHJ31_Z2_3
PHJ31_Z2_2
PHJ31_Z2_1
W64A_Z1_1
W64A_Z1_2
W64A_Z1_3
W64A_Z2_1
W64A_Z2_3
W64A_Z2_2
W64A_Z3_2
W64A_Z3_1
W64A_Z3_3
X78371A_Z1_1
X78371A_Z2_1
X78371A_Z1_2
X78371A_Z1_3
X78371A_Z3_2
X78371A_Z3_3
X78371A_Z2_2
X78371A_Z3_1
LH38_Z3_1
LH38_Z3_2
LH39_Z3_3
LH39_Z3_1
LH39_Z3_2
LH38_Z2_3
LH38_Z3_3
LH39_Z2_2
LH39_Z1_1
LH39_Z2_1
LH39_Z1_2
LH39_Z1_3
LH39_Z2_3
LH38_Z1_2
LH38_Z2_1
LH38_Z2_2
LH38_Z1_1
LH38_Z1_3